

## РАДІОТЕХНІКА ТА ТЕЛЕКОМУНІКАЦІЙ

УДК 621.396.96

А.І. Білоцький, аспір.  
 М.В. Коваленко, д.т.н., проф.  
 Н.В. Петриченко, аспір.  
 Житомирський інженерно-технологічний інститут  
 О.М. Шиманський, оператор РКП  
 Державна інспекція електрозв'язку

### МОДЕЛЮВАННЯ РОЗПІЗНАВАННЯ ГАРМОНІЧНИХ СИГНАЛІВ ЗА ДОПОМОГОЮ ВЕЙВЛЕТ-ПЕРЕТВОРЕННЯ

*Розглянуто можливість використання при розпізнаванні сигналів вейвлет-перетворення для визначення параметрів сигналу, що розпізнається, – частоти та фази (часу затримки). Проведено моделювання визначення параметрів гармонічного сигналу за допомогою вейвлета Морлета.*

Задача розпізнавання сигналів постає у радіолокації, радіонавігації, радіорозвідці, радіоконтролі та у багатьох інших галузях сучасної радіоелектроніки. У цих галузях використовуються переважно квазігармонічні сигнали. Застосування вейвлет-перетворення дозволяє при розпізнаванні визначати такі параметри квазігармонічного сигналу, як частота та фаза (часова затримка).

Спрощеною моделлю квазігармонічного сигналу є звичайний гармонічний сигнал. Шляхом математичного моделювання було встановлено, що серед досліджених вейвлетів (Хара, "сомбреро", Морлета, Баркера) найкращі результати для гармонічних сигналів дає вейвлет Морлета (Morlet), що має породжувальну функцію:

$$\psi(x) = e^{-\frac{x^2}{2}} \cos 5x. \quad (1)$$

Вейвлет-перетворення сигналу  $s(t)$  при цьому визначається таким чином:

$$W_s(a, b) = W[s(t)] = \frac{1}{\sqrt{|a|}} \int_{-\infty}^{\infty} s(t) \psi\left(\frac{t-b}{a}\right) dt, \quad (2)$$

де  $a$  – параметр, що за сенсом близький до періоду;  $b$  – параметр, що за сенсом близький до часової затримки.

Підставивши в (2) гармонічний сигнал  $s(t) = A \cos(\omega_0 t - \varphi)$ , отримаємо:

$$W_s(a, b) = \frac{A}{\sqrt{|a|}} \int_{-\infty}^{\infty} e^{-\frac{(t-b)^2}{2a^2}} \cos(\omega_0 t - \varphi) \cos\left(\frac{5(t-b)}{a}\right) dt. \quad (3)$$

Перейшовши до змінної  $x = \frac{t-b}{a}$ , (3) можна записати у вигляді:

$$W_s(a, b) = A \sqrt{|a|} \operatorname{sgn} a \int_{-\infty}^{\infty} e^{-\frac{x^2}{2}} \cos(a\omega_0 x + b\omega_0 - \varphi) \cos 5x dx. \quad (4)$$

Шляхом нескладних перетворень, враховуючи, що [1], маємо:

$$\begin{aligned} \int_{-\infty}^{\infty} e^{-a^2 x^2} \cos mx dx &= \frac{\sqrt{\pi}}{2a} e^{-\frac{m^2}{4a^2}}, \\ \int_{-\infty}^{\infty} e^{-a^2 x^2} \sin mx dx &= 0, \end{aligned} \quad (5)$$

отже:

$$W_s(a, b) = A \sqrt{|a|} \operatorname{sgn} a \cos(b\omega_0 - \varphi) \sqrt{\frac{\pi}{2}} \left( e^{-\frac{(a\omega_0 + 5)^2}{2}} + e^{-\frac{(a\omega_0 - 5)^2}{2}} \right). \quad (6)$$

Бачимо, що отриманий вейвлет є подільною функцією, тобто його можна представити як добуток двох функцій, кожна з яких залежить лише від однієї змінної:

$$W_s(a, b) = W_{sa}(a)W_{sb}(b), \quad (7)$$

де

$$\begin{aligned} W_{sa}(a) &= A\sqrt{|a|} \operatorname{sgn} a \sqrt{\frac{\pi}{2}} \left( e^{-\frac{(a\omega_0+5)^2}{2}} + e^{-\frac{(a\omega_0-5)^2}{2}} \right) = \\ &= A\sqrt{|a|} \operatorname{sgn} a \sqrt{\frac{\pi}{2}} e^{-\frac{a^2\omega_0^2+25}{2}} (e^{-5a\omega_0} + e^{5a\omega_0}) \\ W_{sb}(b) &= \cos(b\omega_0 - \varphi). \end{aligned} \quad (86)$$

Як відомо, екстремуми функції двох змінних визначаються умовою [2]

$$\begin{cases} \frac{\partial W_s}{\partial a} = 0 \\ \frac{\partial W_s}{\partial b} = 0 \end{cases}. \quad (9)$$

В нашому випадку  $W_s(a, b)$  є подільною функцією, тому (9) з врахуванням (7) розпадається на два незалежних рівняння:

$$\frac{\partial W_{sa}}{\partial a} = 0, \quad (10a)$$

$$\frac{\partial W_{sb}}{\partial b} = 0. \quad (10b)$$

Розглянемо спочатку область  $a > 0$ . Рівняння (10a) при підстановці в нього (8a) в цій області зводиться до рівняння:

$$\begin{aligned} A\sqrt{\frac{\pi}{2}} e^{-\frac{a^2\omega_0^2+25}{2}} \sqrt{a} \operatorname{sgn} a \left[ \left( \frac{1}{2a} - \omega_0^2 a \right) (e^{5a\omega_0} + e^{-5a\omega_0}) + 5\omega_0 (e^{5a\omega_0} - e^{-5a\omega_0}) \right] &= 0, \\ A\sqrt{\frac{\pi}{2}} e^{-\frac{(a\omega_0-5)^2}{2}} \sqrt{a} \operatorname{sgn} a \left[ \left( \frac{1}{2a} - \omega_0^2 a \right) (1 + e^{-10a\omega_0}) + 5\omega_0 (1 - e^{-10a\omega_0}) \right] &= 0, \\ \left( \frac{1}{2a} - \omega_0^2 a \right) (1 + e^{-10a\omega_0}) + 5\omega_0 (1 - e^{-10a\omega_0}) &= 0. \end{aligned} \quad (11)$$

При  $a\omega_0 \approx 1$  та  $a\omega_0 \gg 1$   $e^{-10a\omega_0 a} \ll 1$ , тому рівняння (11) можна наблизено записати у вигляді:

$$\frac{1}{2a} - \omega_0^2 a + 5\omega_0 = 0, \quad 2\omega_0^2 a^2 - 10\omega_0 a - 1 = 0. \quad (12a)$$

Розв'язком квадратного рівняння (12a) будуть значення  $a\omega_0 = \frac{5 \pm 3\sqrt{3}}{2}$ . Можна вважати, що

в область  $a\omega_0 \gg 1$  та  $a\omega_0 \approx 1$  входить лише значення  $a\omega_0 = \frac{5 + 3\sqrt{3}}{2}$ .

При  $a\omega_0 \ll 1$   $e^{-10a\omega_0 a} \approx 1$ , тому рівняння (13) можна наблизено записати у вигляді:

$$\frac{1}{2a} - \omega_0^2 a = 0, \quad 2\omega_0^2 a^2 - 1 = 0. \quad (12b)$$

Розв'язком рівняння (12b) буде  $\omega_0 a = \frac{1}{\sqrt{2}}$ , але це значення потрапляє в діапазон  $a\omega_0 \approx 1$ ,

де коректним є рівняння (12a), а не рівняння (12b).

Аналогічно можна довести, що екстремумом в області  $a < 0$  буде  $a\omega_0 = -\frac{5 + 3\sqrt{3}}{2}$ .

Отже, екстремуми вейвлета будуть знаходитись вздовж ліній

$$a = \pm \frac{5 + 3\sqrt{3}}{2} \frac{1}{\omega_0} = \pm \frac{5 + 3\sqrt{3}}{4\pi} T_0 = \pm 0,81 T_0, \quad (13)$$

де  $T_0$  – період сигналу.

Рівняння (10b) при підставленні в нього (86) зводиться до рівняння:

$$-\omega_0 \sin(\omega_0 b - \varphi) = 0, \quad \sin(\omega_0 b - \varphi) = 0. \quad (14)$$

Розв'язком рівняння (14) будуть значення:

$$b = \frac{k\pi + \varphi}{\omega_0} = \frac{\varphi}{\omega_0} + k \frac{\pi}{\omega_0} = t_z + k \frac{T_0}{2}, \quad k \in Z, \quad (15)$$

де  $t_z$  – час затримки сигналу;  $Z$  – множина цілих чисел.

Отже, екстремуми вейвлета будуть знаходитись у точках  $a = \pm 0,81T_0$ ,  $b = t_z + k \frac{T_0}{2}$ ,  $k \in Z$ .

За значеннями екстремумів вейвлета можна визначити одночасно період сигналу, оскільки  $a_{ext} = \pm 0,81T_0$ , та його затримку (фазу) з точністю до періоду, оскільки  $b_{ext} = t_z + k \frac{T_0}{2}$  ( $k \in Z$ ).

Реально будь-який сигнал має обмежений час спостереження  $T$ , тому реальне вейвлет-перетворення буде виконуватися за формулою:

$$W_s(a, b) = \frac{1}{\sqrt{|a|}} \int_0^T s(t) \psi\left(\frac{t-b}{a}\right) dt. \quad (16)$$

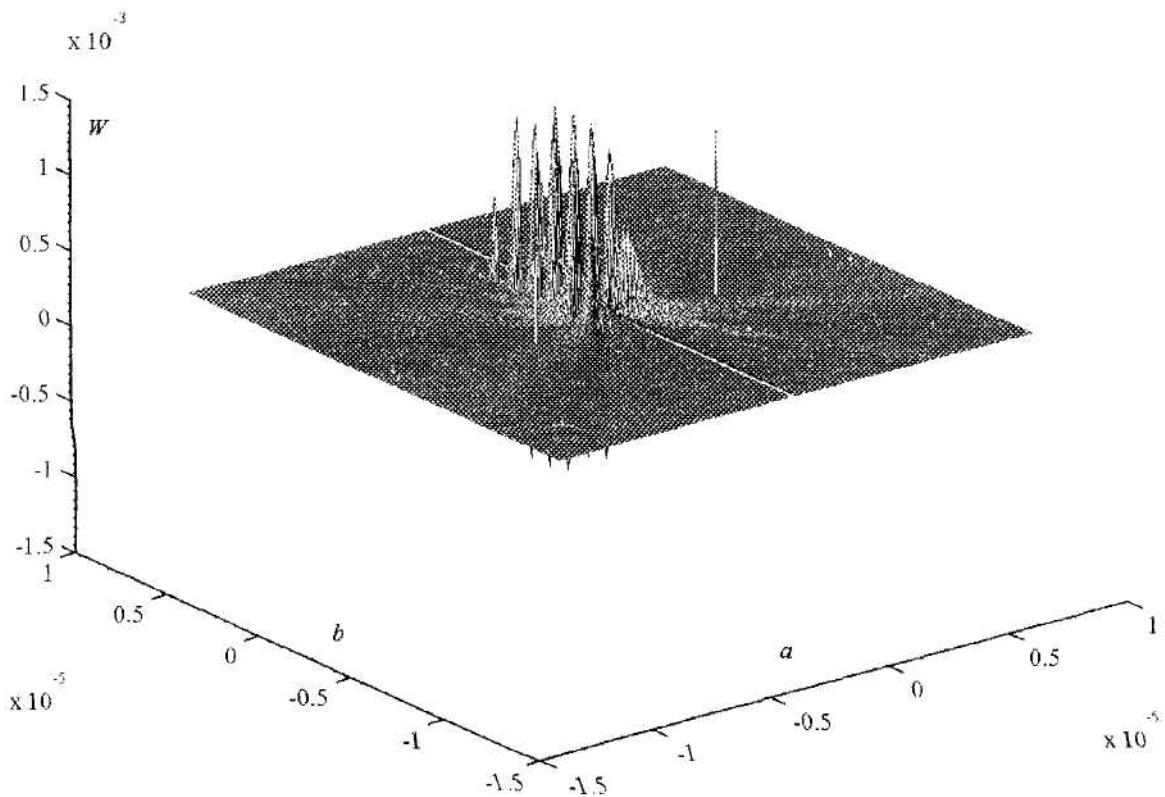
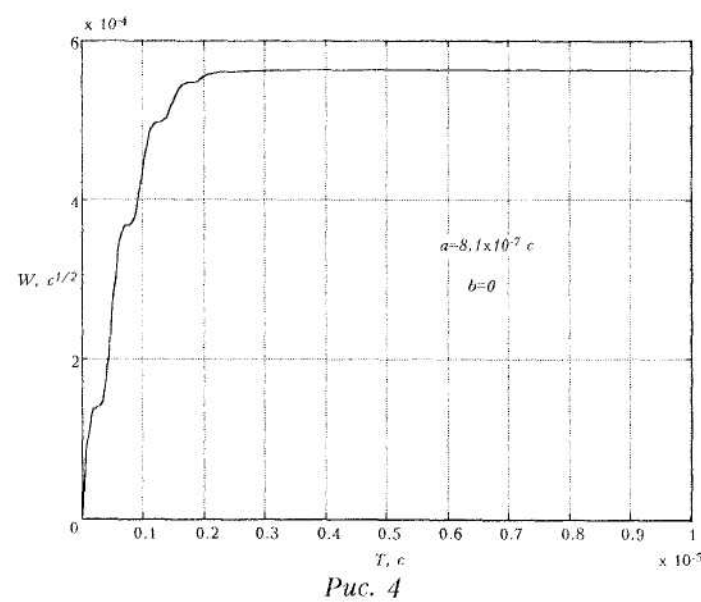
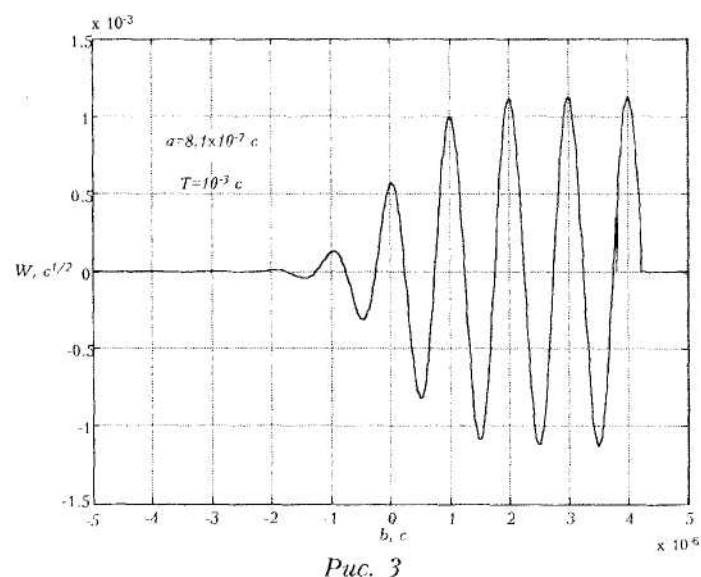
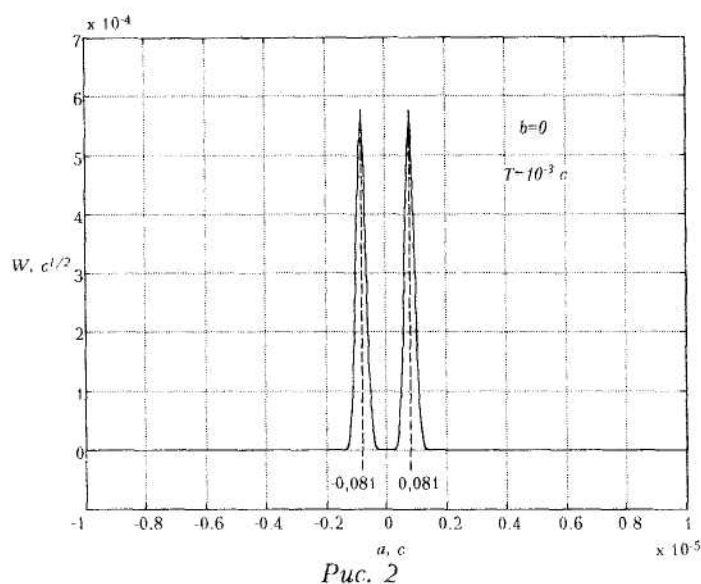


Рис. 1

Математичне моделювання вейвлет-перетворення проводилося за формулою (16). Для гармонічного сигналу з параметрами  $A = 1$ ,  $T_0 = 10^{-6}$  с,  $t_z = 0$  результуючий графік вейвлета при часі спостереження  $T = 10^{-3}$  с приведений на рис. 1. Бачимо, що екстремуми розташовуються симетрично вздовж ліній  $a_{ext} = \pm 0,81T_0 = \pm 8,1 \cdot 10^{-7}$  с через інтервали  $T_0/2 = 5 \cdot 10^{-7}$  с (почергово максимум та мінімум).

На рис. 2 приведений перетин вейвлета  $b = b_{ext} = t_z = 0$ . З рисунку можна визначити період сигналу  $T_0 = \frac{4\pi}{5+3\sqrt{3}} a_{ext} = 1,23a_{ext}$ .



На рис. 3 приведений перетин вейвлета  $a = a_{extr} = 0,81T_0 = 8,1 \cdot 10^{-7}$  с. За максимумом, що потрапляє в інтервал  $[0, T_0]$ , можна визначити затримку сигналу  $t_s = b_{extr} = 0$ .

На рис. 4 приведена залежність вейвлета (16) від часу спостереження сигналу. Бачимо, що вже при  $T > T_0$  час спостереження не впливає на значення вейвлета у точці екстремуму  $W_s(a_{extr}, b_{extr})$ .

Таким чином, застосування вейвлет-перетворення дозволяє одночасно визначити частоту та затримку (фазу) сигналів, що розпізнаються. Недоліком цього методу є наявність побічних екстремумів вейвлета, які ускладнюють визначення параметрів сигналу. Цю проблему можна частково вирішити, підбираючи тип вейвлета, щоб зменшити рівень побічних екстремумів.

#### ЛІТЕРАТУРА:

1. Двайт Г.Б. Таблицы интегралов и другие математические формулы. – М.: Наука, 1966. – 228 с.
2. Пискунов Н.С. Дифференциальное и интегральное исчисление для втузов. – Т.1. –М.: Наука, 1976. – 456 с.

**БЕЛОЦЬКИЙ** Андрій Іванович – аспірант кафедри радіотехніки Житомирського інженерно-технологічного інституту.

Наукові інтереси:

- пристрой НВЧ та антени;
  - радіотехнічні системи.
- E-mail: belotsky@ziet.zhitomir.ua

**КОВАЛЕНКО** Микола Вікторович – доктор технічних наук, професор, завідуючий кафедрою радіотехніки Житомирського інженерно-технологічного інституту.

Наукові інтереси:

- пристрой НВЧ та антени;
- радіотехнічні системи.

**ПЕТРИЧЕНКО** Наталія Василівна – аспірант кафедри радіотехніки Житомирського інженерно-технологічного інституту.

Наукові інтереси:

- пристрой НВЧ та антени;
  - радіотехнічні системи.
- E-mail: pnv@ziet.zhitomir.ua

**ШИМАНСЬКИЙ** Олександр Миколайович – оператор радіоконтрольного пункту Державної інспекції електрозв'язку по Житомирській області.

Наукові інтереси:

- радіоконтроль.

Подано 11.12.2001